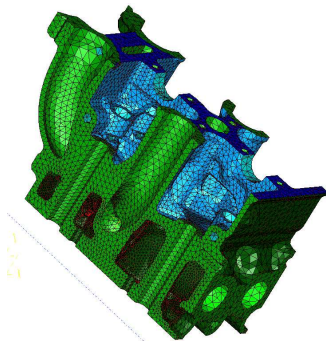


Analyse des structures mécaniques par la méthode des éléments finis



© PSA Peugeot Citroën

www.lms.polytechnique.fr/users/bonnet/enseignement.html

Département de Mécanique, Ecole Polytechnique, 2009–2010

Plan du cours

Concepts fondamentaux et leur application en élasticité linéaire statique

- ▶ Amphi 1 – Résolution approchée de problèmes d'équilibre en élasticité
- ▶ Amphi 2 – La notion d'élément fini isoparamétrique
- ▶ Amphi 3 – La méthode des éléments finis en élasticité linéaire
- ▶ Amphi 4 – Application à la mécanique linéaire de la rupture

Régime non-linéaire quasistatique, application aux solides élastoplastiques

- ▶ Amphi 5 – Calcul de solides à comportement non-linéaire
- ▶ Amphi 6 – Calcul de solides élastoplastiques 1 : aspects locaux
- ▶ Amphi 7 – Calcul de solides élastoplastiques 2 : aspects globaux

Régime linéaire, avec évolution temporelle

- ▶ Amphi 8 – Evolution thermique et thermoélasticité linéaire quasistatique
- ▶ **Amphi 9 – Analyse dynamique des structures élastiques**

Analyse dynamique des structures élastiques

1. Généralités sur la dynamique des solides élastiques

2. Semi-discrétisation en espace

3. Intégration en temps discret

Discrétisation temporelle

Schéma d'intégration explicite : méthode des différences centrées

Schémas d'intégration de la famille de Newmark

Analyse de stabilité

Analyse de cohérence

Précision

Retour sur le schéma explicite des différences centrées

4. Bilan d'énergie totale pour les schémas de Newmark

5. Exemples

Plan

1. Généralités sur la dynamique des solides élastiques

2. Semi-discrétisation en espace

3. Intégration en temps discret

- Discrétisation temporelle

- Schéma d'intégration explicite : méthode des différences centrées

- Schémas d'intégration de la famille de Newmark

- Analyse de stabilité

- Analyse de cohérence

- Précision

- Retour sur le schéma explicite des différences centrées

4. Bilan d'énergie totale pour les schémas de Newmark

5. Exemples

Hypothèses, équations locales

► Elasticité linéaire, HPP

$\underline{\underline{\varepsilon}} = \frac{1}{2}(\nabla \underline{u} + \nabla^T \underline{u})$	dans $\Omega \times [0, t^F]$	compatibilité (a)
$\text{div} \underline{\underline{\sigma}} + \rho \underline{f} - \rho \frac{\partial^2 \underline{u}}{\partial t^2} = \underline{0}$	dans $\Omega \times [0, t^F]$	dynamique (b)
$\underline{\underline{\sigma}} = \mathcal{A} : \underline{\underline{\varepsilon}}$	dans $\Omega \times [0, t^F]$	comportement élastique (c)
$\underline{u} = \underline{u}^D$	sur $S_\xi \times [0, t^F]$	déplacements imposés (d)
$\underline{T} = \underline{T}^D$	sur $S_T \times [0, t^F]$	efforts imposés (e)
$\begin{cases} \underline{u}(\cdot, 0) = \underline{U}_0(\cdot) \\ \frac{\partial \underline{u}}{\partial t}(\cdot, 0) = \underline{V}_0(\cdot) \end{cases}$	dans Ω	conditions initiales (f)

Ondes élastiques

Dynamique + compatibilité + élasticité linéaire isotrope : **équation de Navier**

$$\mu \Delta \underline{u} + \frac{\mu}{1-2\nu} \nabla \operatorname{div} \underline{u} - \rho \frac{\partial^2 \underline{u}}{\partial t^2} + \rho \underline{f} = \underline{0} \quad (\text{cas isotrope})$$

Représentation des solutions \underline{u} par **potentiels de Lamé** :

$$\underline{u} = \nabla \phi_L + \operatorname{rot} \phi_T \quad \text{avec} \quad \operatorname{div} \phi_T = \underline{0}$$

Equation de Navier \implies **Equations des ondes** découplées d'inconnues ϕ_L et ϕ_T :

$$\begin{aligned} \Delta \phi_L - \frac{1}{c_L^2} \frac{\partial^2 \phi_L}{\partial t^2} + \underline{f}_L &= 0 \\ \Delta \phi_T - \frac{1}{c_T^2} \frac{\partial^2 \phi_T}{\partial t^2} + \underline{f}_T &= \underline{0} \end{aligned}$$

$$\left(\text{avec} \quad \begin{aligned} \Delta \underline{w} &= \nabla \operatorname{div} \underline{w} + \operatorname{rot} \operatorname{rot} \underline{w} \\ \underline{f} &= \nabla \underline{f}_L + \operatorname{rot} \underline{f}_T \end{aligned} \right)$$

Ondes élastiques, avec les célérités

$$c_L^2 = \frac{2-2\nu}{1-2\nu} \frac{\mu}{\rho}$$

Ondes de compression, ou « longitudinales »

$$c_T^2 = \frac{\mu}{\rho}$$

Ondes de cisaillement, ou « transversales »

$$c_L > c_T$$

Domaine de validité de l'approche quasistatique

- ▶ Dynamique + compatibilité + comportement élastique, avec **coordonnées adimensionnelles** $\tilde{x} = x/L$ et $\tilde{t} = t/T$:

$$\operatorname{div}_{\tilde{x}} \left(\frac{1}{\mu} \mathcal{A} : \underline{\underline{\varepsilon}}_{\tilde{x}} [u] \right) - \frac{\rho L^2}{\mu T^2} \frac{\partial^2 \underline{u}}{\partial \tilde{t}^2} + \frac{\rho L^2}{\mu} \underline{f} = \underline{0}$$

- ▶ Hypothèse quasistatique légitime si

$$\frac{\rho L^2}{\mu T^2} \ll 1 \quad \text{soit} \quad \left(\frac{L}{c_T T} \right)^2 \ll 1$$

- ▶ **Interprétation** : Régime **dynamique** si $c_T T$ (distance parcourue par une onde élastique pendant le temps caractéristique T) **n'est pas grand devant** L (longueur caractéristique)

Plan

1. Généralités sur la dynamique des solides élastiques

2. Semi-discrétisation en espace

3. Intégration en temps discret

Discrétisation temporelle

Schéma d'intégration explicite : méthode des différences centrées

Schémas d'intégration de la famille de Newmark

Analyse de stabilité

Analyse de cohérence

Précision

Retour sur le schéma explicite des différences centrées

4. Bilan d'énergie totale pour les schémas de Newmark

5. Exemples

Formulation faible

- **Principe des puissances virtuelles** (dynamique + CL en efforts) :

$$\int_{\Omega} \underline{\underline{\sigma}} : \underline{\underline{\varepsilon}}[\underline{w}] \, dV + \int_{\Omega} \rho \frac{\partial^2 \underline{u}}{\partial t^2} \cdot \underline{w} \, dV = \int_{\Omega} \rho \underline{f} \cdot \underline{w} \, dV + \int_{\partial\Omega} [\underline{\underline{\sigma}} \cdot \underline{n}] \cdot \underline{w} \, dS \quad \forall \underline{w} \in \mathcal{C}$$

→ **Introduction compatibilité + comportement**

→ **Restriction à champs virtuels admissibles à $\underline{0}$** :

- **Formulation faible** des équations de l'élastodynamique :

trouver $\underline{u}(\cdot, t) \in \mathcal{C}(\underline{u}^D)$ tel que

$$\begin{aligned} & \int_{\Omega} \underline{\underline{\varepsilon}}[\underline{u}](\cdot, t) : \underline{\underline{\mathcal{A}}} : \underline{\underline{\varepsilon}}[\underline{w}] \, dV + \int_{\Omega} \rho \frac{\partial^2 \underline{u}}{\partial t^2}(\cdot, t) \cdot \underline{w} \, dV \\ & = \int_{\Omega} \rho \underline{f}(\cdot, t) \cdot \underline{w} \, dV + \int_{S_T} \underline{T}^D(\cdot, t) \cdot \underline{w} \quad (\forall t \in [0, t^F], \quad \forall \underline{w} \in \mathcal{C}(\underline{0})) \end{aligned}$$

$$\underline{u}(\cdot, 0) = \underline{U}_0 \quad \frac{\partial \underline{u}}{\partial t}(\cdot, 0) = \underline{V}_0$$

Semi-discrétisation par éléments finis

- ▶ **Approximation par éléments finis** (amphis 2 et 3) :

$$[\mathbf{K}]\{\mathbf{U}(t)\} + [\mathbf{M}]\{\ddot{\mathbf{U}}(t)\} = \{\mathbf{F}(t)\}$$

- ▶ **Matrice de masse** $[\mathbf{M}]$: définie par

$$\{\mathbf{W}\}^T [\mathbf{M}] \{\ddot{\mathbf{U}}(t)\} = \int_{\Omega} \rho \frac{\partial^2 \underline{u}_h}{\partial t^2} \cdot \underline{w}_h \, dV$$

ou encore
(énergie cinétique)

$$\mathcal{K}_h(t) = \frac{1}{2} \int_{\Omega} \rho \left\| \frac{\partial \underline{u}_h}{\partial t} \right\|^2 \, dV = \frac{1}{2} \{\dot{\mathbf{U}}(t)\}^T [\mathbf{M}] \{\dot{\mathbf{U}}(t)\}$$

$[\mathbf{M}]$ est **symétrique définie positive** (positivité stricte de l'énergie cinétique) ;

- ▶ **Calcul numérique** de $[\mathbf{M}]$: procédure d'assemblage

$$\{\mathbf{W}\}^T [\mathbf{M}] \{\ddot{\mathbf{U}}(t)\} = \sum_{e=1}^{N_E} \{\mathbf{W}_e\}^T [\mathbf{M}_e] \{\ddot{\mathbf{U}}_e(t)\}$$

$$\{\mathbf{W}_e\}^T [\mathbf{M}_e] \{\ddot{\mathbf{U}}_e(t)\} = \{\mathbf{W}_e\}^T \left\{ \int_{\Delta_e} \rho [\mathbf{N}(\underline{a})]^T [\mathbf{N}(\underline{a})] J(\underline{a}) \, dV(\underline{a}) \right\} \{\ddot{\mathbf{U}}_e(t)\}$$

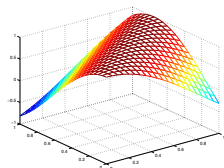
Contraintes de discrétisation en dynamique

Statique : facteurs influant sur la finesse du maillage

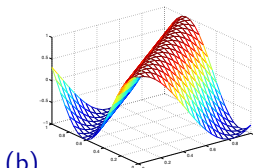
- ▶ Bonne représentation de géométries complexes
- ▶ Anticipation de fortes variations de la solution (singularité, concentrations...)

Dynamique : facteurs influant sur la finesse du maillage

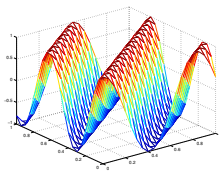
- Les mêmes qu'en (quasi-)statique
- En plus**, adéquation à la **longueur caractéristique dynamique** $\ell = cT$
(par exemple, $\ell =$ longueur d'onde si $T =$ période de sollicitation)



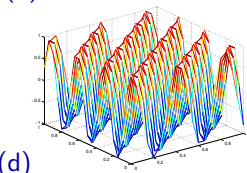
(a)



(b)



(c)



(d)

Maillage **fixe** 20×20 éléments carrés à 4 noeuds.

(a) Longueur d'onde = 1 ;

(b) Longueur d'onde = 1/2 ;

(c) Longueur d'onde = 1/4 ;

(d) Longueur d'onde = 1/8 ;

Plan

1. Généralités sur la dynamique des solides élastiques

2. Semi-discrétisation en espace

3. Intégration en temps discret

Discrétisation temporelle

Schéma d'intégration explicite : méthode des différences centrées

Schémas d'intégration de la famille de Newmark

Analyse de stabilité

Analyse de cohérence

Précision

Retour sur le schéma explicite des différences centrées

4. Bilan d'énergie totale pour les schémas de Newmark

5. Exemples

Plan

1. Généralités sur la dynamique des solides élastiques

2. Semi-discrétisation en espace

3. Intégration en temps discret

Discrétisation temporelle

Schéma d'intégration explicite : méthode des différences centrées

Schémas d'intégration de la famille de Newmark

Analyse de stabilité

Analyse de cohérence

Précision

Retour sur le schéma explicite des différences centrées

4. Bilan d'énergie totale pour les schémas de Newmark

5. Exemples

Discrétisation temporelle



- **Intégration en temps** : résolution **pas à pas** aux instants discrets successifs :

$$(\{\mathbf{U}_0\}, \{\dot{\mathbf{U}}_0\}, \{\ddot{\mathbf{U}}_0\}) = (\{\mathbf{U}(t_0)\}, \{\dot{\mathbf{U}}(t_0)\}, \{\ddot{\mathbf{U}}(t_0)\})$$

$$\dots$$

$$(\{\mathbf{U}_n\}, \{\dot{\mathbf{U}}_n\}, \{\ddot{\mathbf{U}}_n\}) = (\{\mathbf{U}(t_n)\}, \{\dot{\mathbf{U}}(t_n)\}, \{\ddot{\mathbf{U}}(t_n)\})$$

$$\dots$$

$$(\{\mathbf{U}_M\}, \{\dot{\mathbf{U}}_M\}, \{\ddot{\mathbf{U}}_M\}) = (\{\mathbf{U}(t_M)\}, \{\dot{\mathbf{U}}(t_M)\}, \{\ddot{\mathbf{U}}(t_M)\})$$

- **Composant principal du schéma d'intégration en temps** : algorithme réalisant la **transition**

$$(\{\mathbf{U}_n\}, \{\dot{\mathbf{U}}_n\}, \{\ddot{\mathbf{U}}_n\}) \rightarrow (\{\mathbf{U}_{n+1}\}, \{\dot{\mathbf{U}}_{n+1}\}, \{\ddot{\mathbf{U}}_{n+1}\})$$

- **Schémas d'intégration en temps** :
 - Méthode des différences centrées (explicite)
 - Famille des schémas de Newmark (certains implicites)

Plan

1. Généralités sur la dynamique des solides élastiques

2. Semi-discrétisation en espace

3. Intégration en temps discret

Discrétisation temporelle

Schéma d'intégration explicite : méthode des différences centrées

Schémas d'intégration de la famille de Newmark

Analyse de stabilité

Analyse de cohérence

Précision

Retour sur le schéma explicite des différences centrées

4. Bilan d'énergie totale pour les schémas de Newmark

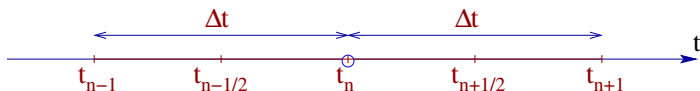
5. Exemples

Schéma d'intégration explicite : méthode des différences centrées

- **Principe** : approcher vitesse et accélération par différences finies centrées :

$$\{\dot{U}_{n+1/2}\} \approx \frac{1}{\Delta t} [\{U_{n+1}\} - \{U_n\}] \quad \{\ddot{U}_n\} \approx \frac{1}{\Delta t} [\{\dot{U}_{n+1/2}\} - \{\dot{U}_{n-1/2}\}]$$

avec les notations $f_{n+1/2} = f(t_{n+1/2})$, $t_{n+1/2} = \frac{1}{2}(t_{n+1} + t_n)$



- Mène à une approximation de l'accélération par **différences centrées d'ordre 2** :

$$\{\ddot{U}_n\} \approx \frac{1}{\Delta t^2} [\{U_{n+1}\} - 2\{U_n\} + \{U_{n-1}\}]$$

Algorithme d'intégration : méthode des différences centrées

Données : maillage ; (E, ν, ρ) ;
 sollicitations $\underline{u}^D(\underline{x}, t)$, $\underline{T}^D(\underline{x}, t)$, $\underline{f}(\underline{x}, t)$;
 conditions initiales $\{\underline{U}_0\}$, $\{\ddot{\underline{U}}_0\}$.

Assemblage de $[\mathbb{K}]$ et $[\mathbb{M}]$;

Initialisation des accélérations : calcul de $\{\ddot{\underline{U}}_0\}$ par résolution de

$$[\mathbb{M}]\{\ddot{\underline{U}}_0\} = \{\underline{F}_0\} - [\mathbb{K}]\{\underline{U}_0\}$$

Initialisation des vitesses : calcul de $\{\dot{\underline{U}}_{1/2}\}$ par

$$\{\dot{\underline{U}}_{1/2}\} = \{\dot{\underline{U}}_0\} + \frac{\Delta t}{2} \{\ddot{\underline{U}}_0\}$$

Boucle d'incrément temporelle : pour $n = 0, 1, 2, \dots, M - 1$

(a) Actualisation du déplacement : $\{\underline{U}_{n+1}\} = \{\underline{U}_n\} + \Delta t \{\dot{\underline{U}}_{n+1/2}\}$

(b) Calcul de l'accélération : $[\mathbb{M}]\{\ddot{\underline{U}}_{n+1}\} = \{\underline{F}_{n+1}\} - [\mathbb{K}]\{\underline{U}_{n+1}\}$

(c) Actualisation de la vitesse : $\{\dot{\underline{U}}_{n+3/2}\} = \{\dot{\underline{U}}_{n+1/2}\} + \Delta t \{\ddot{\underline{U}}_{n+1}\}$.

Caractère explicite de la méthode des différences centrées.

- ▶ Repose sur la résolution, pour chaque pas de temps, du système

$$[\mathbf{M}]\{\ddot{\mathbf{U}}_{n+1}\} = \{\mathbf{F}_{n+1}\} - [\mathbf{K}]\{\mathbf{U}_{n+1}\}$$

- ▶ Etape **rendue explicite** par **condensation de masse** :

Remplacer « vraie » matrice de masse $[\mathbf{M}]$ par **approximation diagonale** $[\tilde{\mathbf{M}}]$

$$\text{exemple : } \tilde{M}_{II} = \sum_{J=1}^N M_{IJ}$$

Raisonné car $M_{IJ} \neq 0$ (a) en faible nombre pour chaque I

(b) Associés à DDLs géométriquement proches.

- ▶ Résolution **explicite** du système linéaire

$$\{\ddot{\mathbf{U}}_{n+1}\}_I = \frac{1}{\tilde{M}_{II}} \left(\{\mathbf{F}_{n+1}\}_I - [\mathbf{K}]\{\mathbf{U}_{n+1}\}_I \right)$$

- ▶ Méthode des différences centrées : **conditionnellement stable** (cf. suite)
 → Parfois pénalisant (impose un trop grand nombre de pas de temps) ;
- ▶ **Intérêt de disposer de schémas inconditionnellement stables.**

Plan

1. Généralités sur la dynamique des solides élastiques

2. Semi-discrétisation en espace

3. Intégration en temps discret

Discrétisation temporelle

Schéma d'intégration explicite : méthode des différences centrées

Schémas d'intégration de la famille de Newmark

Analyse de stabilité

Analyse de cohérence

Précision

Retour sur le schéma explicite des différences centrées

4. Bilan d'énergie totale pour les schémas de Newmark

5. Exemples

Schémas d'intégration de la famille de Newmark

- Famille de schémas à deux paramètres (α, β) , qui repose sur les relations

$$\{\mathbf{U}_{n+1}\} \approx \{\mathbf{U}_n\} + \Delta t \{\dot{\mathbf{U}}_n\} + \frac{1}{2} \Delta t^2 [(1 - 2\beta)\{\ddot{\mathbf{U}}_n\} + 2\beta\{\ddot{\mathbf{U}}_{n+1}\}] \quad (a)$$

$$\{\dot{\mathbf{U}}_{n+1}\} \approx \{\dot{\mathbf{U}}_n\} + \Delta t [(1 - \gamma)\{\ddot{\mathbf{U}}_n\} + \gamma\{\ddot{\mathbf{U}}_{n+1}\}] \quad (b)$$

- Interprétation : variante des développements de Taylor

$$\{\mathbf{U}_{n+1}\} = \{\mathbf{U}_n\} + \Delta t \{\dot{\mathbf{U}}_n\} + \frac{1}{2} \Delta t^2 \{\ddot{\mathbf{U}}_n\} + o(\Delta t^2)$$

$$\{\dot{\mathbf{U}}_{n+1}\} = \{\dot{\mathbf{U}}_n\} + \Delta t \{\ddot{\mathbf{U}}_n\} + o(\Delta t)$$

avec remplacement de $\{\ddot{\mathbf{U}}_n\}$ par une moyenne pondérée de $\{\ddot{\mathbf{U}}_n\}$ et $\{\ddot{\mathbf{U}}_{n+1}\}$

- **Principe** : reporter (a) dans $[\mathbb{K}]\{\mathbf{U}(t)\} + [\mathbb{M}]\{\ddot{\mathbf{U}}(t)\} = \{\mathbf{F}(t)\}$, qui donne

$$([\mathbb{M}] + \beta \Delta t^2 [\mathbb{K}]) \{\ddot{\mathbf{U}}_{n+1}\} = \{\mathbf{F}_{n+1}\} - [\mathbb{K}] (\{\mathbf{U}_n\} + \Delta t \{\dot{\mathbf{U}}_n\} + \Delta t^2 \left(\frac{1}{2} - \beta\right) \{\ddot{\mathbf{U}}_n\})$$

- Conditions de convergence : **stabilité et cohérence** (th. de Lax, cf. amphi 8)

Algorithme d'intégration de Newmark

Données : maillage ; (E, ν, ρ) ;
 sollicitations $\underline{u}^D(\underline{x}, t)$, $\underline{T}^D(\underline{x}, t)$, $\underline{f}(\underline{x}, t)$;
 conditions initiales $\{\underline{U}_0\}$, $\{\dot{\underline{U}}_0\}$.

Assemblage de $[\mathbb{K}]$ et $[\mathbb{M}]$;

Initialisation : calcul de $\{\ddot{\underline{U}}_0\}$ par

$$[\mathbb{M}]\{\ddot{\underline{U}}_0\} = \{\underline{F}_0\} - [\mathbb{K}]\{\underline{U}_0\}$$

Construction et factorisation de la matrice $[\mathbb{S}] = [\mathbb{M}] + \beta\Delta t^2[\mathbb{K}]$;

Boucle d'incrémentation temporelle : pour $n = 0, 1, 2, \dots, M - 1$

(a) Prédiction :

$$\begin{aligned} \{\underline{U}_{n+1}^{\text{pred}}\} &= \{\underline{U}_n\} + \Delta t\{\dot{\underline{U}}_n\} + \frac{1}{2}\Delta t^2(1 - 2\beta)\{\ddot{\underline{U}}_n\} \\ \{\dot{\underline{U}}_{n+1}^{\text{pred}}\} &= \{\dot{\underline{U}}_n\} + \Delta t(1 - \gamma)\{\ddot{\underline{U}}_n\} \end{aligned}$$

(b) Calcul de l'accélération par

$$[\mathbb{S}]\{\ddot{\underline{U}}_{n+1}\} = \{\underline{F}_{n+1}\} - [\mathbb{K}]\{\underline{U}_{n+1}^{\text{pred}}\}$$

(c) Correction et actualisation :

$$\begin{aligned} \{\underline{U}_{n+1}\} &= \{\underline{U}_{n+1}^{\text{pred}}\} + \Delta t^2\beta\{\ddot{\underline{U}}_{n+1}\} \\ \{\dot{\underline{U}}_{n+1}\} &= \{\dot{\underline{U}}_{n+1}^{\text{pred}}\} + \Delta t\gamma\{\ddot{\underline{U}}_{n+1}\} \end{aligned}$$

Plan

1. Généralités sur la dynamique des solides élastiques

2. Semi-discrétisation en espace

3. Intégration en temps discret

Discrétisation temporelle

Schéma d'intégration explicite : méthode des différences centrées

Schémas d'intégration de la famille de Newmark

Analyse de stabilité

Analyse de cohérence

Précision

Retour sur le schéma explicite des différences centrées

4. Bilan d'énergie totale pour les schémas de Newmark

5. Exemples

Analyse de stabilité

- ▶ **Stabilité** \Leftrightarrow **non-amplification d'erreurs entre t_n et t_{n+1}** (cf. amphi 8).
- ▶ **Reformulation** des schémas de Newmark sous la forme

$$(\{\mathbf{U}_n\}, \{\dot{\mathbf{U}}_n\}) \rightarrow (\{\mathbf{U}_{n+1}\}, \{\dot{\mathbf{U}}_{n+1}\})$$

(suite de transitions à partir des données initiales $\{\mathbf{U}_0\}, \{\dot{\mathbf{U}}_0\}$).

- ▶ Méthode :

Multiplication à gauche des relations de Newmark par $[\mathbf{M}]$;

Elimination de $[\mathbf{M}]\{\ddot{\mathbf{U}}_n\}$ et $[\mathbf{M}]\{\ddot{\mathbf{U}}_{n+1}\}$ à l'aide de $[\mathbf{K}]\{\mathbf{U}\} + [\mathbf{M}]\{\ddot{\mathbf{U}}\} = \{\mathbf{F}\}$

\Rightarrow **Transition** réalisée par la **relation de récurrence**

$$\begin{bmatrix} [\mathbf{M}] + \beta \Delta t^2 [\mathbf{K}] & \mathbf{0} \\ \gamma \Delta t [\mathbf{K}] & [\mathbf{M}] \end{bmatrix} \begin{Bmatrix} \mathbf{U}_{n+1} \\ \dot{\mathbf{U}}_{n+1} \end{Bmatrix} - \begin{bmatrix} (\beta - \frac{1}{2}) \Delta t^2 [\mathbf{K}] - [\mathbf{M}] & \Delta t [\mathbf{M}] \\ (\gamma - 1) \Delta t [\mathbf{K}] & [\mathbf{M}] \end{bmatrix} \begin{Bmatrix} \mathbf{U}_n \\ \dot{\mathbf{U}}_n \end{Bmatrix} - \begin{Bmatrix} (\frac{1}{2} - \beta) \Delta t^2 \mathbf{F}_n + \beta \Delta t^2 \mathbf{F}_{n+1} \\ (1 - \gamma) \Delta t \mathbf{F}_n + \gamma \Delta t \mathbf{F}_{n+1} \end{Bmatrix} = \begin{Bmatrix} \mathbf{0} \\ \mathbf{0} \end{Bmatrix}$$

Analyse de stabilité

- Relation de récurrence de la forme

$$\begin{Bmatrix} \mathbf{U}_{n+1} \\ \dot{\mathbf{U}}_{n+1} \end{Bmatrix} = [\mathbb{R}] \begin{Bmatrix} \mathbf{U}_n \\ \dot{\mathbf{U}}_n \end{Bmatrix} + \{\mathbf{Y}_n\}$$

- Stabilité : analyse facilitée par diagonalisation ($[\mathbb{K}]\{\mathbf{X}\} - \omega^2[\mathbb{M}]\{\mathbf{X}\} = \{0\}$)

$$\begin{aligned} \{\mathbf{X}^I\}^T [\mathbb{M}] \{\mathbf{X}^I\} &= 1 & \{\mathbf{X}^I\}^T [\mathbb{M}] \{\mathbf{X}^J\} &= 0 \quad (J \neq I) \\ \{\mathbf{X}^I\}^T [\mathbb{K}] \{\mathbf{X}^I\} &= \omega_I^2 & \{\mathbf{X}^I\}^T [\mathbb{K}] \{\mathbf{X}^J\} &= 0 \quad (J \neq I) \end{aligned}$$

et

$$\begin{aligned} \{\mathbf{U}_n\} &= \sum_{1 \leq J \leq N} \alpha_n^J \{\mathbf{X}^J\} & \{\dot{\mathbf{U}}_n\} &= \sum_{1 \leq J \leq N} \dot{\alpha}_n^J \{\mathbf{X}^J\} \\ \{\mathbf{U}_{n+1}\} &= \sum_{1 \leq J \leq N} \alpha_{n+1}^J \{\mathbf{X}^J\} & \{\dot{\mathbf{U}}_{n+1}\} &= \sum_{1 \leq J \leq N} \dot{\alpha}_{n+1}^J \{\mathbf{X}^J\} \end{aligned}$$

(Note : problème aux valeurs propres associé aux modes propres de vibration)

Analyse de stabilité

- ▶ Projection des relations de récurrence sur les modes propres $[M]$ -orthonormés
- ▶ N systèmes 2×2 découplés :

$$\begin{bmatrix} 1 + \beta \Delta t^2 \omega_J^2 & 0 \\ \gamma \Delta t \omega_J^2 & 1 \end{bmatrix} \begin{Bmatrix} \alpha_{n+1}^J \\ \dot{\alpha}_{n+1}^J \end{Bmatrix} = \begin{bmatrix} (\beta - \frac{1}{2}) \Delta t^2 \omega_J^2 - 1 & \Delta t \\ (\gamma - 1) \Delta t \omega_J^2 & 1 \end{bmatrix} \begin{Bmatrix} \alpha_n^J \\ \dot{\alpha}_n^J \end{Bmatrix} + \begin{Bmatrix} (\frac{1}{2} - \beta) \Delta t^2 f_n^J + \beta \Delta t^2 f_{n+1}^J \\ (1 - \gamma) \Delta t f_n^J + \gamma \Delta t f_{n+1}^J \end{Bmatrix}$$

qui sont donc de la forme

$$\begin{Bmatrix} \alpha_{n+1}^J \\ \dot{\alpha}_{n+1}^J \end{Bmatrix} = [R_J] \begin{Bmatrix} \alpha_n^J \\ \dot{\alpha}_n^J \end{Bmatrix} + \{Y_{n+1}^J\} \quad (1 \leq J \leq N)$$

- ▶ **Conditions de stabilité :**

$$\left\| [R_J] \begin{Bmatrix} \delta \alpha_n^J \\ \delta \dot{\alpha}_n^J \end{Bmatrix} \right\| \leq \left\| \begin{Bmatrix} \delta \alpha_n^J \\ \delta \dot{\alpha}_n^J \end{Bmatrix} \right\| \quad (\forall J, 1 \leq J \leq N)$$

Analyse de stabilité

- Les conditions de stabilité se ramènent à des **conditions sur les valeurs propres des $[R_J]$** :

$$\begin{cases} \text{Si } \lambda_1^J \neq \lambda_2^J : & \text{il faut } |\lambda_1^J| \leq 1, |\lambda_2^J| \leq 1 \\ \text{Si } \lambda_1^J = \lambda_2^J : & \text{il faut } |\lambda_1^J| = |\lambda_2^J| < 1. \end{cases} \quad (\forall J, 1 \leq J \leq N)$$

- Equation caractéristique** associée à $\text{Det}([R_J] - \lambda[I]) = 0$:

$$\text{Det}([R_J] - \lambda[I]) = 0 \Leftrightarrow \lambda^2 - 2A\lambda + B = 0$$

$$\text{avec } 2A = 2 - \left(\frac{1}{2} + \gamma\right)\zeta^2, \quad B = 1 + \left(\frac{1}{2} - \gamma\right)\zeta^2 = 0, \quad \zeta^2 = \frac{\omega_J^2 \Delta t^2}{1 + \beta \omega_J^2 \Delta t^2}$$

- Conditions de stabilité exprimées par rapport à A, B** :

(i) Si $A^2 - B > 0$ ($\lambda_1^J \neq \lambda_2^J \in \mathbb{R}$) :

$$-1 \leq A \leq 1 \quad \text{et} \quad \begin{cases} 1 - 2A + B \geq 0 \\ 1 + 2A + B \geq 0 \end{cases}$$

(ii) Si $A^2 - B = 0$ ($\lambda_1^J = \lambda_2^J$) :

$$-1 < A < 1$$

(iii) Si $A^2 - B < 0$ ($\lambda_1^J = \bar{\lambda}_2^J \in \mathbb{C}$) :

$$B \leq 1$$

Analyse de stabilité : synthèse

- Domaine de stabilité défini par

$$1 - 2A + B \geq 0 \quad A \neq \pm 1$$

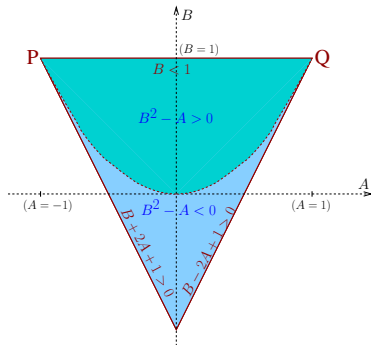
$$1 + 2A + B \geq 0 \quad B \leq 1$$

soit

$$\zeta^2 \geq 0$$

$$\gamma - 1/2 \geq 0$$

$$4 + 2(2\beta - \gamma)\omega_j^2 \Delta t^2 \geq 0$$



Stabilité du schéma de Newmark.

Si $\gamma \geq 1/2$ et $2\beta - \gamma \geq 0$: **stabilité inconditionnelle** ;

Si $\gamma \geq 1/2$ et $2\beta - \gamma < 0$: **stabilité conditionnelle**, le pas de temps devant vérifier

$$\Delta t < \stackrel{\text{déf}}{=} \min_J \frac{1}{\omega_J} \frac{2}{\sqrt{2\gamma - 4\beta}}$$

Si $\gamma < 1/2$:

instabilité.

Interprétation de la condition de stabilité

- ▶ Pour les versions **conditionnellement stables** de Newmark, il faut vérifier

$$\Delta t \leq (\Delta t)_{\text{stab}} = \min_J \frac{1}{\omega_J} \frac{2}{\sqrt{2\gamma - 4\beta}}$$

- ▶ On peut montrer que

$$\max_J \omega_J = \bar{\omega} \frac{c}{h}$$

où $\bar{\omega}$: plus grande valeur propre d'un pb. aux valeurs propres **adimensionnel**.

- ▶ Par conséquent :

$$c\Delta t \leq Ch \quad \text{avec} \quad C = \frac{1}{\bar{\omega}} \frac{2}{\sqrt{2\gamma - 4\beta}}$$

- ▶ Interprétation : $(\Delta t)_{\text{stab}}$ correspond au temps nécessaire à une onde élastique pour traverser la fraction d'élément Ch
- ▶ Conséquence importante (coûts des calculs) : pour une version conditionnellement stable de Newmark, il faut ajuster Δt en proportion de h .
Un raffinement spatial implique un raffinement temporel.

Plan

1. Généralités sur la dynamique des solides élastiques

2. Semi-discrétisation en espace

3. Intégration en temps discret

Discrétisation temporelle

Schéma d'intégration explicite : méthode des différences centrées

Schémas d'intégration de la famille de Newmark

Analyse de stabilité

Analyse de cohérence

Précision

Retour sur le schéma explicite des différences centrées

4. Bilan d'énergie totale pour les schémas de Newmark

5. Exemples

Analyse de cohérence

- **Définition** (cf. amphi 8) :

Un schéma de la famille de Newmark est **cohérent** si toute solution $\{\mathbf{U}(t)\}$ de

$$[\mathbf{K}]\{\mathbf{U}(t)\} + [\mathbf{M}]\{\ddot{\mathbf{U}}(t)\} = \{\mathbf{F}(t)\}$$

vérifie à la limite $\Delta t \rightarrow 0$ l'équation de transition en temps discret

$$\begin{Bmatrix} \mathbf{U}_{n+1} \\ \dot{\mathbf{U}}_{n+1} \end{Bmatrix} = [\mathbf{R}] \begin{Bmatrix} \mathbf{U}_n \\ \dot{\mathbf{U}}_n \end{Bmatrix} + \{\mathbf{Y}_n\}$$

- **Vérification** par développement de Taylor de $\{\mathbf{U}_{n+1}\}$, $\{\dot{\mathbf{U}}_{n+1}\}$, $\{\mathbf{F}_{n+1}\}$ en $t = t_n$: tous calculs faits, on trouve

$$\text{Résidu de l'équation de transition} = \begin{Bmatrix} \Delta t^3 \left(\frac{1}{6} - \beta \right) \mathbf{M} \ddot{\mathbf{U}} \\ \Delta t^2 \left(\frac{1}{2} - \gamma \right) \mathbf{M} \ddot{\mathbf{U}} \end{Bmatrix} + \begin{Bmatrix} o(\Delta t^3) \\ o(\Delta t^2) \end{Bmatrix}$$

- **Conclusion** : tous les schémas de la famille de Newmark sont cohérents.

Plan

1. Généralités sur la dynamique des solides élastiques

2. Semi-discrétisation en espace

3. Intégration en temps discret

Discrétisation temporelle

Schéma d'intégration explicite : méthode des différences centrées

Schémas d'intégration de la famille de Newmark

Analyse de stabilité

Analyse de cohérence

Précision

Retour sur le schéma explicite des différences centrées

4. Bilan d'énergie totale pour les schémas de Newmark

5. Exemples

Précision

$$\text{Résidu de l'équation de transition} = \left\{ \begin{array}{l} \Delta t^3 \left(\frac{1}{6} - \beta \right) \mathbf{M} \ddot{\mathbf{U}} \\ \Delta t^2 \left(\frac{1}{2} - \gamma \right) \mathbf{M} \ddot{\mathbf{U}} \end{array} \right\} + \left\{ \begin{array}{l} o(\Delta t^3) \\ o(\Delta t^2) \end{array} \right\}$$

- Suggère une précision **optimale** pour le choix

$$\beta = 1/6, \quad \gamma = 1/2$$

Conditionnellement stable (critère $2\beta - \gamma \geq 0$ de stabilité inconditionnelle violé)

- Précision optimale compatible avec une stabilité **inconditionnelle** :

$$\beta = 1/4, \quad \gamma = 1/2$$

Plan

1. Généralités sur la dynamique des solides élastiques

2. Semi-discrétisation en espace

3. Intégration en temps discret

Discrétisation temporelle

Schéma d'intégration explicite : méthode des différences centrées

Schémas d'intégration de la famille de Newmark

Analyse de stabilité

Analyse de cohérence

Précision

Retour sur le schéma explicite des différences centrées

4. Bilan d'énergie totale pour les schémas de Newmark

5. Exemples

Retour sur le schéma explicite des différences centrées

- ▶ On considère le schéma de Newmark avec $\beta = 0, \gamma = 1/2$
- ▶ Relations de Newmark sur $\{\mathbf{U}\}$ à t_{n+1} et t_n :

$$\{\mathbf{U}_{n+1}\} - 2\{\mathbf{U}_n\} + \{\mathbf{U}_{n-1}\} = \Delta t(\{\dot{\mathbf{U}}_n\} - \{\dot{\mathbf{U}}_{n-1}\}) + \frac{\Delta t^2}{2}(\{\ddot{\mathbf{U}}_n\} - \{\ddot{\mathbf{U}}_{n-1}\})$$

Relations de Newmark sur $\{\dot{\mathbf{U}}\}$ à t_n :

$$\{\dot{\mathbf{U}}_n\} - \{\dot{\mathbf{U}}_{n-1}\} = \frac{\Delta t}{2}(\{\ddot{\mathbf{U}}_n\} + \{\ddot{\mathbf{U}}_{n-1}\})$$

- ▶ En combinant les 2 identités, on retrouve l'**approximation de $\{\ddot{\mathbf{U}}_n\}$ par différences centrées** :

$$\{\mathbf{U}_{n+1}\} - 2\{\mathbf{U}_n\} + \{\mathbf{U}_{n-1}\} = \Delta t^2\{\ddot{\mathbf{U}}_n\}$$

Le schéma (explicite) des différences centrées est dans la famille Newmark avec

$$\beta = 0, \gamma = 1/2$$

Par conséquent, **stabilité conditionnelle** avec

$$\Delta t < (\Delta t)_{\text{stab}} = \min_J \frac{2}{\omega_J}$$

Plan

1. Généralités sur la dynamique des solides élastiques

2. Semi-discrétisation en espace

3. Intégration en temps discret

- Discrétisation temporelle

- Schéma d'intégration explicite : méthode des différences centrées

- Schémas d'intégration de la famille de Newmark

- Analyse de stabilité

- Analyse de cohérence

- Précision

- Retour sur le schéma explicite des différences centrées

4. Bilan d'énergie totale pour les schémas de Newmark

5. Exemples

Bilan d'énergie totale pour les schémas de Newmark

- ▶ **Etude de la conservation de l'énergie totale** : une autre méthode pour analyser et comprendre les schémas numériques en dynamique.
- ▶ Analyse pour le système différentiel homogène (problème **conservatif**, temps **continu**)

$$\boxed{[\mathbb{K}]\{\mathbf{U}\} + [\mathbf{M}]\{\ddot{\mathbf{U}}\} = \{\mathbf{0}\}} \quad \{\mathbf{U}_0\}, \{\dot{\mathbf{U}}_0\} \neq \{\mathbf{0}\}$$

Multiplication à gauche par $\{\dot{\mathbf{U}}\}$ donne (théorème de l'énergie cinétique) :

$$\{\dot{\mathbf{U}}\}^T [\mathbb{K}]\{\mathbf{U}\} + \{\dot{\mathbf{U}}\}^T [\mathbf{M}]\{\ddot{\mathbf{U}}\} = 0 \quad \text{soit} \quad \boxed{\frac{d}{dt} [\mathcal{W}(t) + \mathcal{K}(t)] = 0}$$

avec $\mathcal{K}(t) = \frac{1}{2} \{\dot{\mathbf{U}}\}^T [\mathbf{M}]\{\dot{\mathbf{U}}\} \quad \mathcal{W}(t) = \frac{1}{2} \{\mathbf{U}\}^T [\mathbb{K}]\{\mathbf{U}\}$

- ▶ Application au problème en **temps discret** :
évaluer la variation d'énergie totale entre deux instants discrets

$$\mathcal{W}(t_{n+1}) - \mathcal{W}(t_n) + \mathcal{K}(t_{n+1}) - \mathcal{K}(t_n)$$

- (i) Si $[\mathcal{W} + \mathcal{K}](t_{n+1}) - [\mathcal{W} + \mathcal{K}](t_n) < 0$: **amortissement numérique** ;
- (ii) Si $[\mathcal{W} + \mathcal{K}](t_{n+1}) - [\mathcal{W} + \mathcal{K}](t_n) > 0$: **amplification**, schéma **instable** ;
- (iii) Si $[\mathcal{W} + \mathcal{K}](t_{n+1}) - [\mathcal{W} + \mathcal{K}](t_n) = 0$: schéma **conservatif**.

Bilan d'énergie totale pour les schémas de Newmark

- Variation d'énergie totale :

$$[\mathcal{W} + \mathcal{K}](t_{n+1}) - [\mathcal{W} + \mathcal{K}](t_n) = 2\{\mathbf{U}_n\}_S^T [\mathbf{K}] \{\mathbf{U}_n\}_D + 2\{\dot{\mathbf{U}}_n\}_S^T [\mathbf{M}] \{\dot{\mathbf{U}}_n\}_D$$

avec $\{\mathbf{X}_n\}_S = \frac{1}{2}(\mathbf{X}_{n+1} + \mathbf{X}_n)$, $\{\mathbf{X}_n\}_D = \frac{1}{2}(\mathbf{X}_{n+1} - \mathbf{X}_n)$

- Reformulation en $\{\}_S$, $\{\}_D$ des relations de Newmark ;

Report de ces relations dans la variation d'énergie ;

Exploitation de $[\mathbf{K}]\{\mathbf{U}\} + [\mathbf{K}]\{\ddot{\mathbf{U}}\} = \{\mathbf{0}\}$

⇒ **bilan d'énergie du schéma**

Bilan d'énergie totale pour les schémas de Newmark

$$\mathcal{E}(t_{n+1}) - \mathcal{E}(t_n) = 2(1 - 2\gamma)\{\mathbf{U}_n\}_D^T[\mathbf{K}]\{\mathbf{U}_n\}_D \\ + \Delta t^2(\gamma - 2\beta)(1 - 2\gamma)\{\ddot{\mathbf{U}}_n\}_D^T[\mathbf{M}]\{\ddot{\mathbf{U}}_n\}_D$$

avec la notation

$$\mathcal{E}(t) = \mathcal{W}(t) + \mathcal{K}(t) + \frac{\Delta t^2}{2} \left(\beta - \frac{\gamma}{2} \right) \{\ddot{\mathbf{U}}(t)\}^T[\mathbf{M}]\{\ddot{\mathbf{U}}(t)\}$$

(a) **Si** $\gamma = 1/2$: **conservation de** $\mathcal{E}(t)$;

(b) **Si** $\gamma \geq 1/2$ **et** $2\beta - \gamma = 0$: énergie totale **décroissante**

$$\mathcal{W}(t_{n+1}) + \mathcal{K}(t_{n+1}) - \mathcal{W}(t_n) - \mathcal{K}(t_n) = 2(1 - 2\gamma)\{\mathbf{U}_n\}_D^T[\mathbf{K}]\{\mathbf{U}_n\}_D \leq 0$$

(c) **Si** $\gamma = 1/2$ **et** $\beta = 1/4$: énergie totale **conservée**.

$$\mathcal{W}(t_{n+1}) + \mathcal{K}(t_{n+1}) - \mathcal{W}(t_n) - \mathcal{K}(t_n) = 0$$

(d) **Si** $\gamma > 1/2$ **et** $2\beta > \gamma$ (stabilité inconditionnelle) : **décroissance de** $\mathcal{E}(t)$;

(e) **Si** $\gamma < 1/2$ (instabilité) : **divergence de** $\mathcal{E}(t)$.

Plan

1. Généralités sur la dynamique des solides élastiques

2. Semi-discrétisation en espace

3. Intégration en temps discret

Discrétisation temporelle

Schéma d'intégration explicite : méthode des différences centrées

Schémas d'intégration de la famille de Newmark

Analyse de stabilité

Analyse de cohérence

Précision

Retour sur le schéma explicite des différences centrées

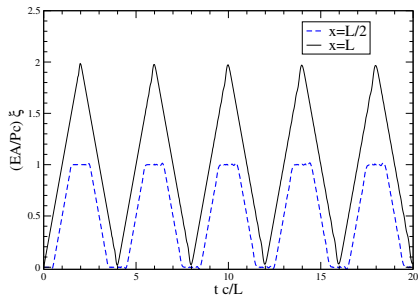
4. Bilan d'énergie totale pour les schémas de Newmark

5. Exemples

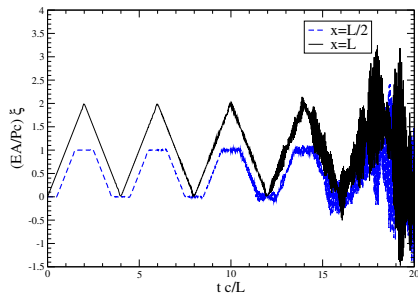
Barre élastique soumise à une force d'extrémité



Célérité des ondes de compression : $c = \sqrt{E/\rho}$



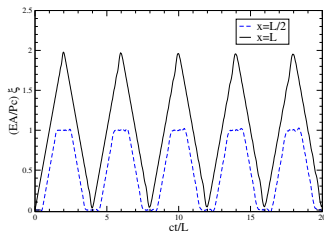
$(\beta, \gamma) = (1/4, 1/2)$
(inconditionnellement stable)



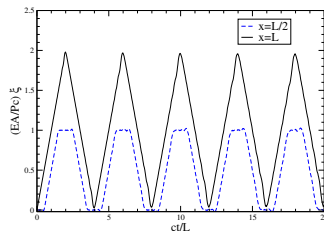
$(\beta, \gamma) = (1/4, 99/200)$
(instable)

Barre élastique soumise à une force d'extrémité

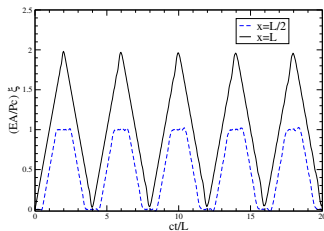
Cas explicite ($\beta = 0, \gamma = 1/2$), **conditionnellement stable**



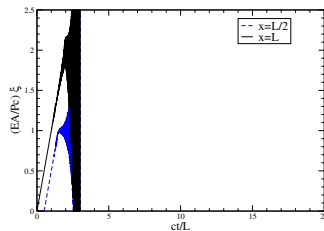
$\Delta t = 0,866(\Delta t)_{stab}$



$\Delta t = 0,9992(\Delta t)_{stab}$

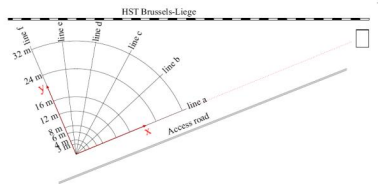
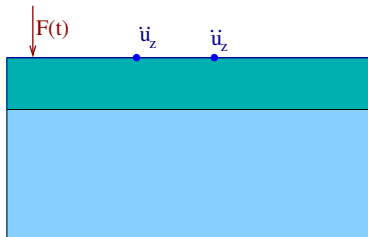


$\Delta t = 0,99976(\Delta t)_{stab}$



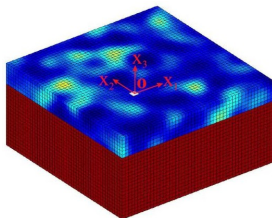
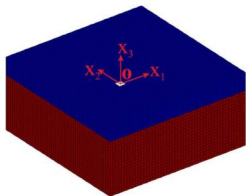
$\Delta t = 1,00034(\Delta t)_{stab}$

Ondes de surface dans un sol hétérogène



- ▶ Mesures selon le procédé SASW (Spectral Analysis of Surface Waves) ;
- ▶ Servent à estimer les propriétés mécaniques (célérité ondes P et S, masse volumique) du sous-sol (problème inverse) ;
- ▶ Modélisation de la propagation des ondes dans un sol de propriétés données : outil indispensable pour la comparaison aux expériences

Ondes de surface dans un sol hétérogène



Modèle numérique basé sur les **éléments finis spectraux**

- ▶ $48 \times 48 \times 24$ éléments (degré 6, 343 noeuds par élément)
- ▶ Schéma explicite des différences centrées (i.e. Newmark avec $\beta = 0, \gamma = 1/2$);
- ▶ 33 millions de DDLs, 30.000 pas de temps (respect de la condition de stabilité);
- ▶ 50 heures de calcul (15 processeurs en parallèle)

Calcul effectué par M. Arnst (doctorant ECP), code éléments finis spectraux réalisé à l'Institut de Physique du Globe de Paris (J.P. Villote)

[Homogène (plan horizontal)] [Homogène (plan vertical)]
[Hétérogène (plan horizontal)] [Hétérogène (plan vertical)]

Conclusion de l'amphi 9

- ▶ **Schémas numériques pour le calcul de la réponse dynamique de structures : famille de Newmark**
- ▶ **Analyse des principales caractéristiques des schémas :**
 - Stabilité (inconditionnelle ou conditionnelle selon les schémas)
 - Cohérence
 - Précision

Choix de paramètres selon les critères de stabilité et de précision.

- ▶ **Schéma explicite ($\beta = 0, \gamma = 1/2$) : rapide mais stabilité conditionnelle ;**
- ▶ **Schémas implicites inconditionnellement stables ($\gamma \geq 1/2, 2\beta \geq \gamma$) :**
- ▶ **Notion de bilan énergétique pour la famille de Newmark.**
- ▶ **Extensions : dynamique des structures à comportement non linéaire :**
 - Rupture dynamique ;
 - Matériau à comportement non linéaire (élastoplastique, viscoplastique,...) ;
 - Contact unilatéral ;
 - Transformations finies ;

Les schémas numériques d'intégration en temps fournissent un cadre de travail adapté à la prise en compte d'effets d'histoire

www.lms.polytechnique.fr/users/bonnet/enseignement.html

Bilan

Concepts fondamentaux et leur application en élasticité linéaire statique

- ▶ Amphi 1 – Résolution approchée de problèmes d'équilibre en élasticité
- ▶ Amphi 2 – La notion d'élément fini isoparamétrique
- ▶ Amphi 3 – La méthode des éléments finis en élasticité linéaire
- ▶ Amphi 4 – Application à la mécanique linéaire de la rupture

Régime non-linéaire, application aux solides élastoplastiques

- ▶ Amphi 5 – Calcul de solides à comportement non-linéaire
- ▶ Amphi 6 – Calcul de solides élastoplastiques 1 : aspects locaux
- ▶ Amphi 7 – Calcul de solides élastoplastiques 2 : aspects globaux

Régime linéaire, avec évolution temporelle

- ▶ Amphi 8 – Evolution thermique et thermoélasticité linéaire quasistatique
- ▶ Amphi 9 – Analyse dynamique des structures élastiques

www.lms.polytechnique.fr/users/bonnet/enseignement.html